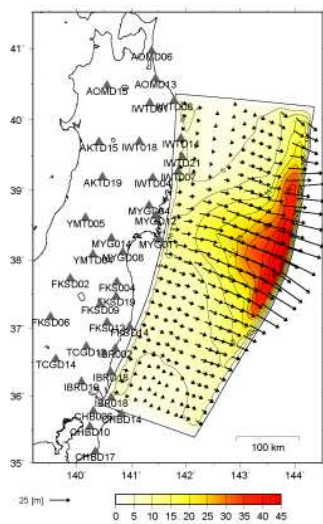


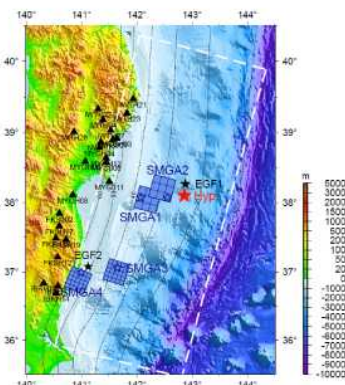
【グラビア】

サブテーマ① 長周期地震動予測を予測する手法の高度化の検討等

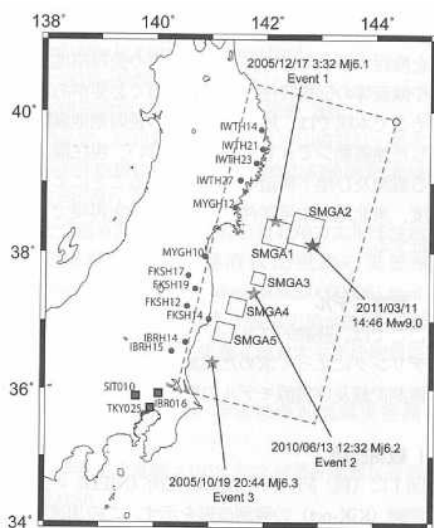
(a) 鈴木モデル



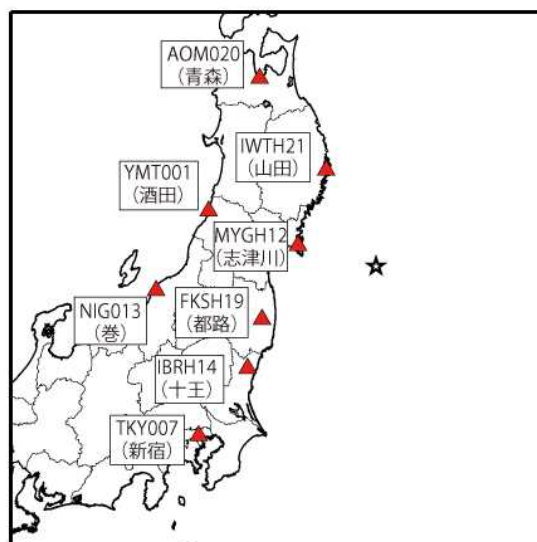
(b) 浅野モデル



(c) 川辺モデル

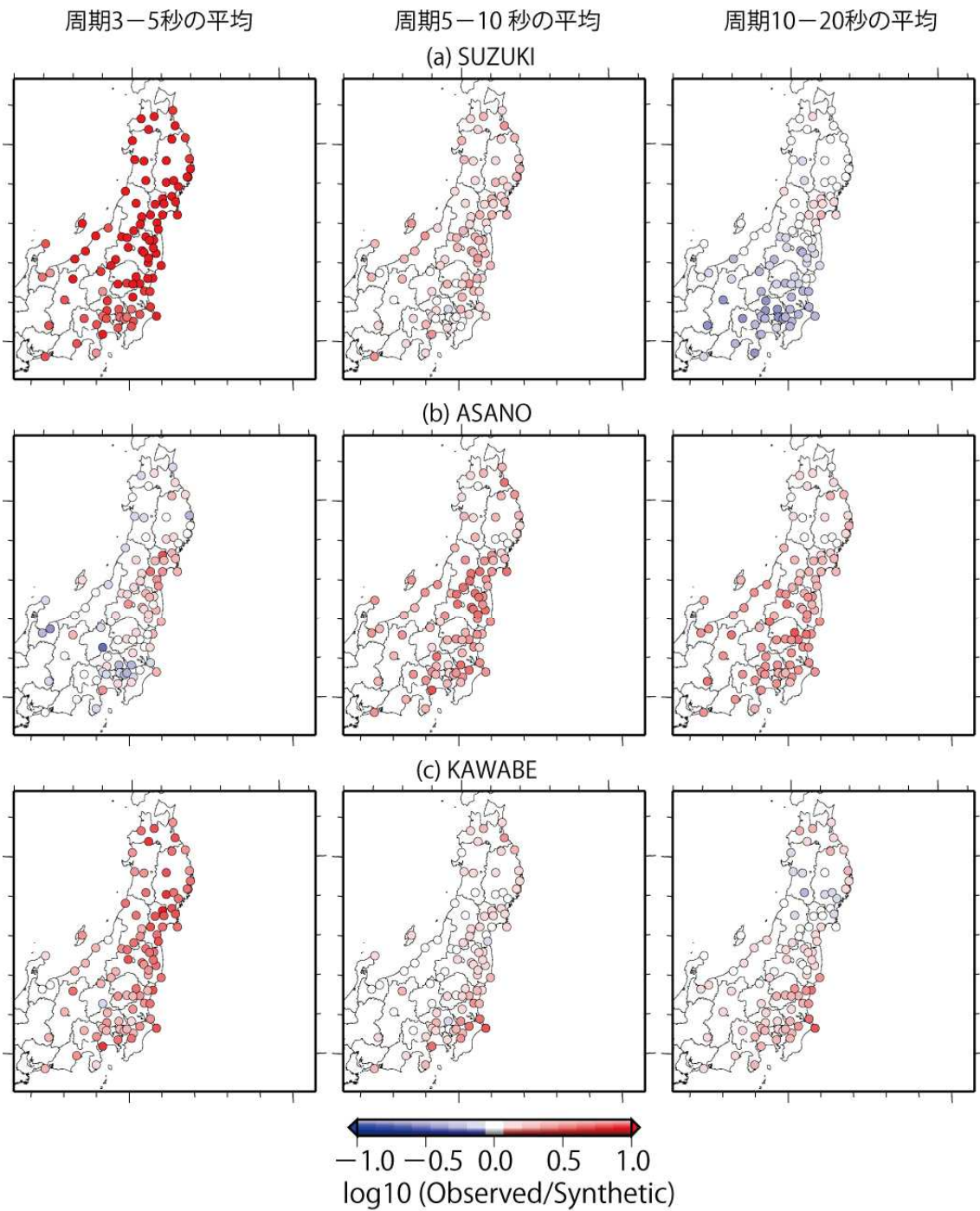


(d) 計算領域・出力地点



本検討で用いた平成 23 年 (2011 年) 東北地方太平洋沖地震の既往の震源モデル

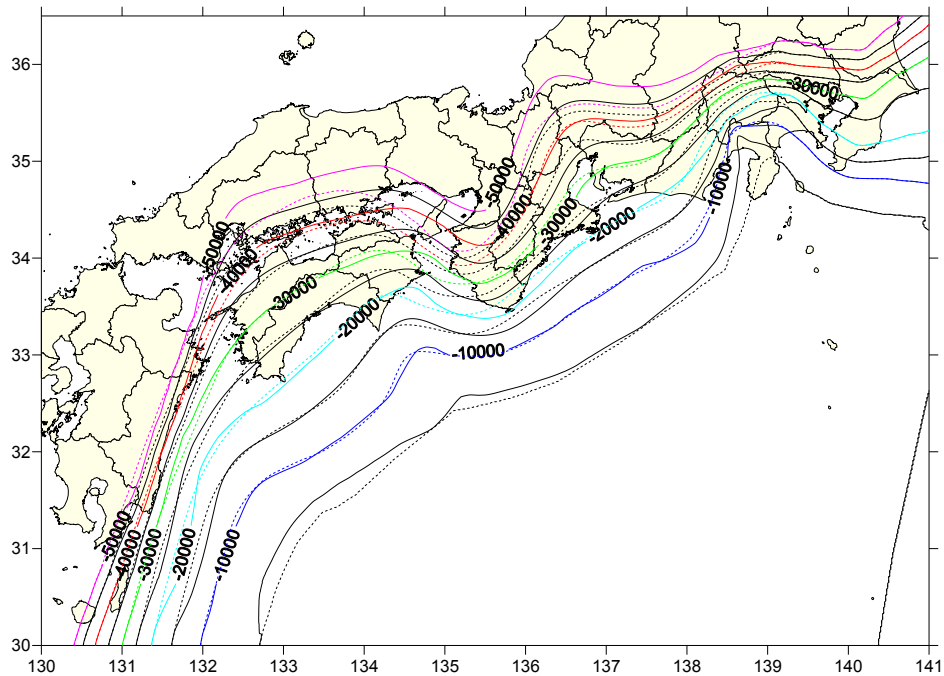
サブテーマ① 長周期地震動予測を予測する手法の高度化の検討等



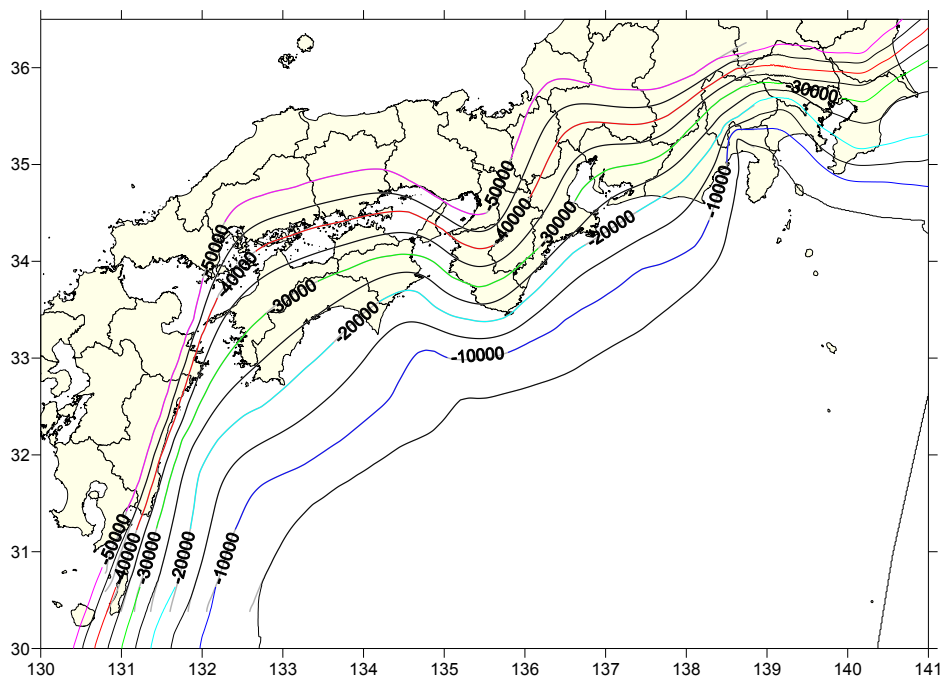
平成 23 年 (2011 年) 東北地方太平洋沖地震の長周期地震動シミュレーション結果

サブテーマ② 長周期地震動予測に資する地下構造モデルの検討等

実線：接合モデル、点線：1次拡張モデル

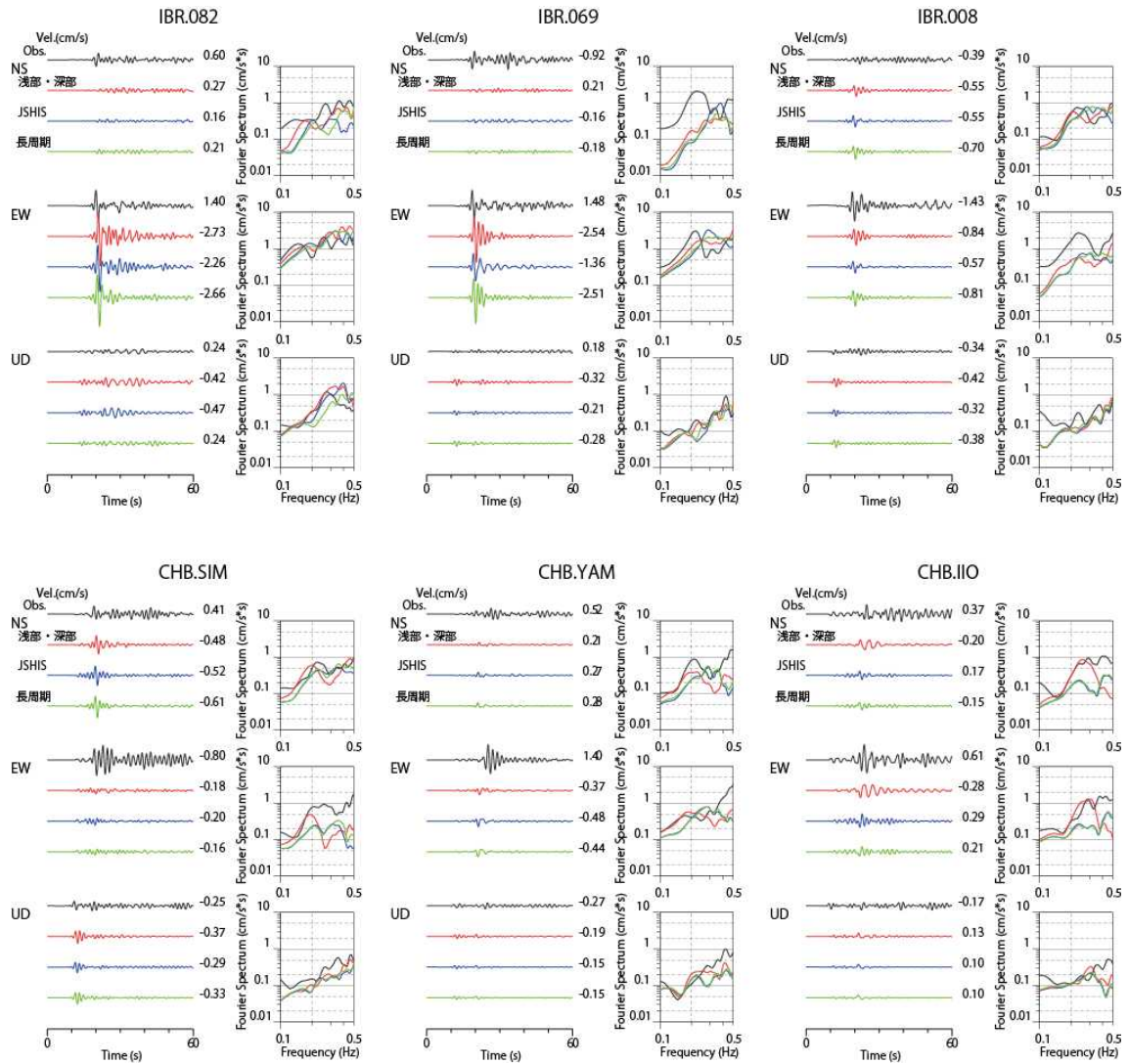


実線：接合モデル、灰色線：内閣府モデル



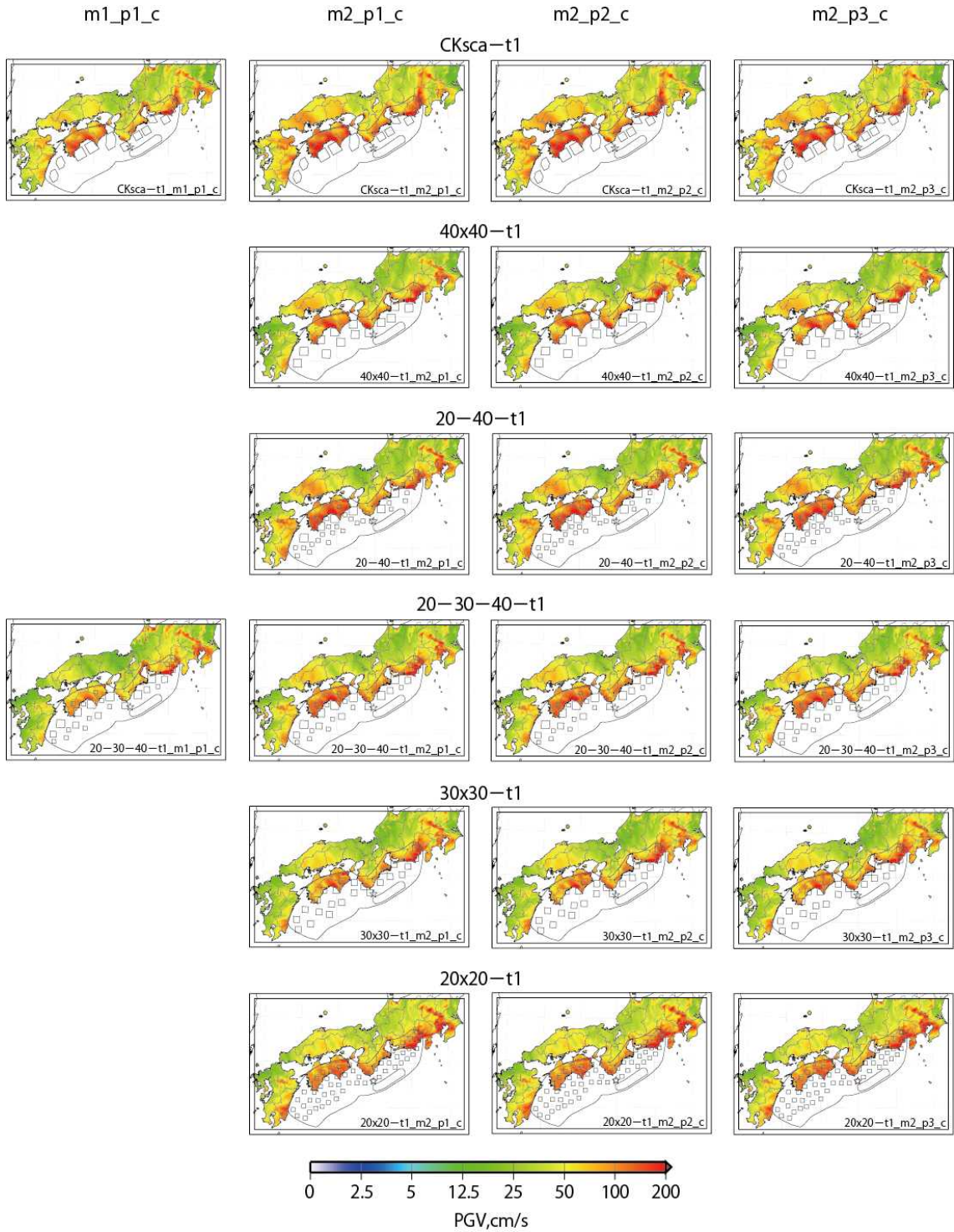
新たな知見を取り入れたフィリピン海プレートの構造の修正

サブテーマ② 長周期地震動予測に資する地下構造モデルの検討等



浅部・深部統合地盤モデルを用いた地震動シミュレーションと既往の地盤モデルによる地震動シミュレーション結果との比較

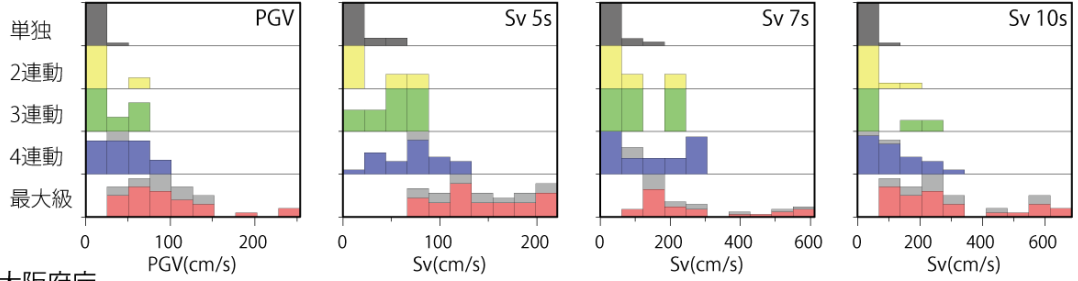
サブテーマ③ 南海トラフの地震の震源モデル化手法の検討等



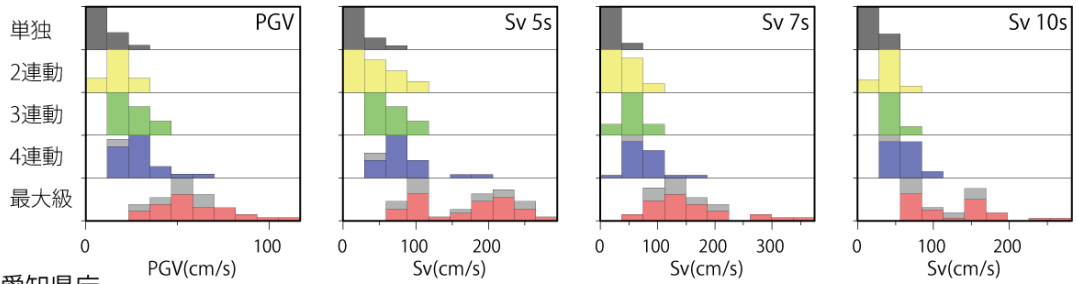
震源モデルと地震動シミュレーション結果による最大速度分布の例

サブテーマ③ 南海トラフの地震の震源モデル化手法の検討等

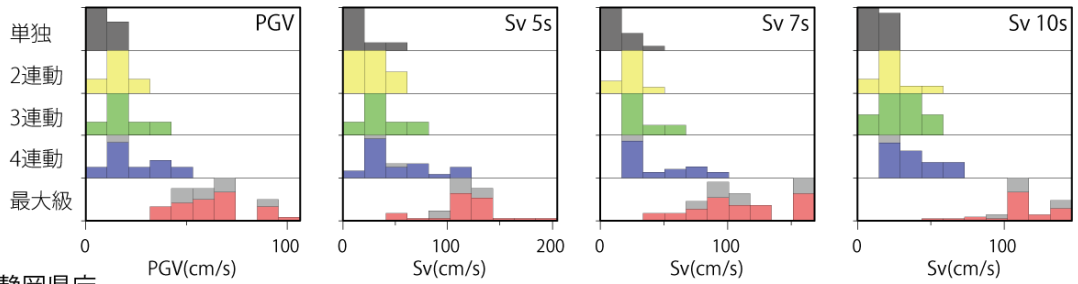
大分県庁



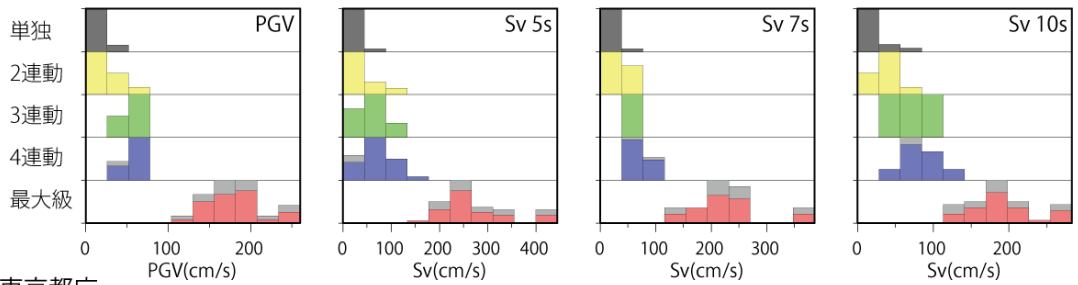
大阪府庁



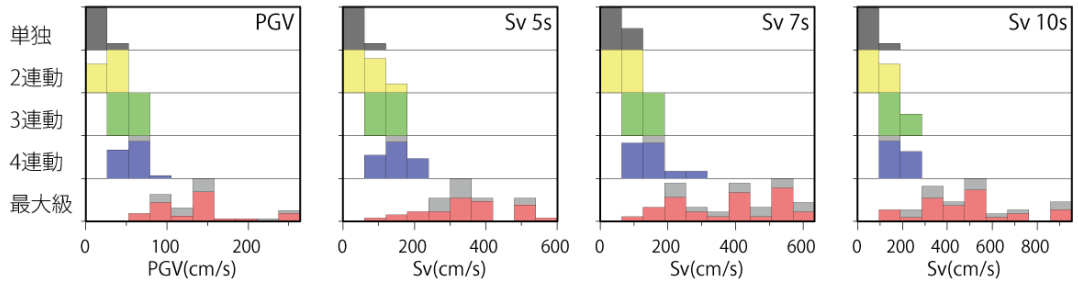
愛知県庁



静岡県庁

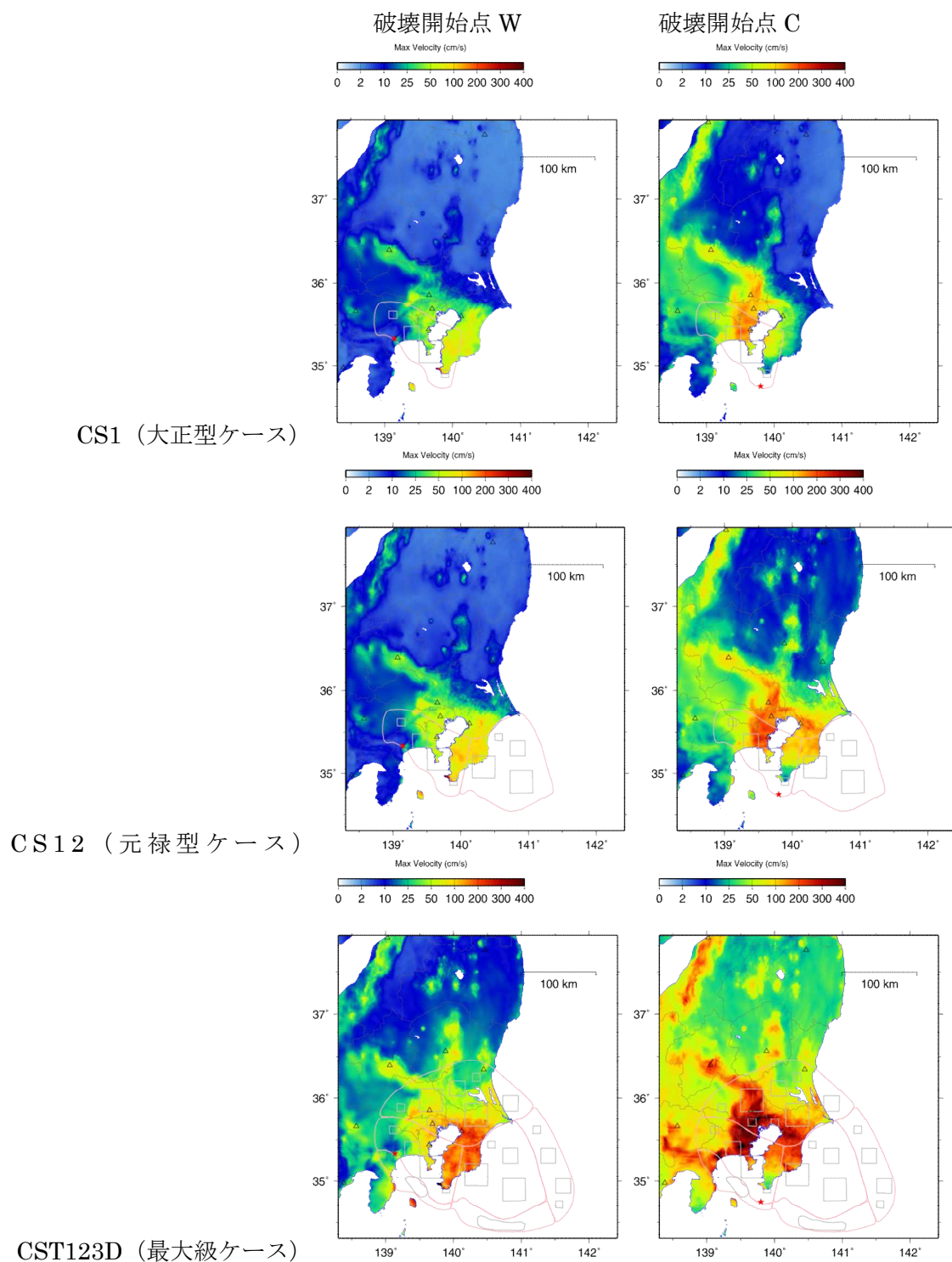


東京都庁



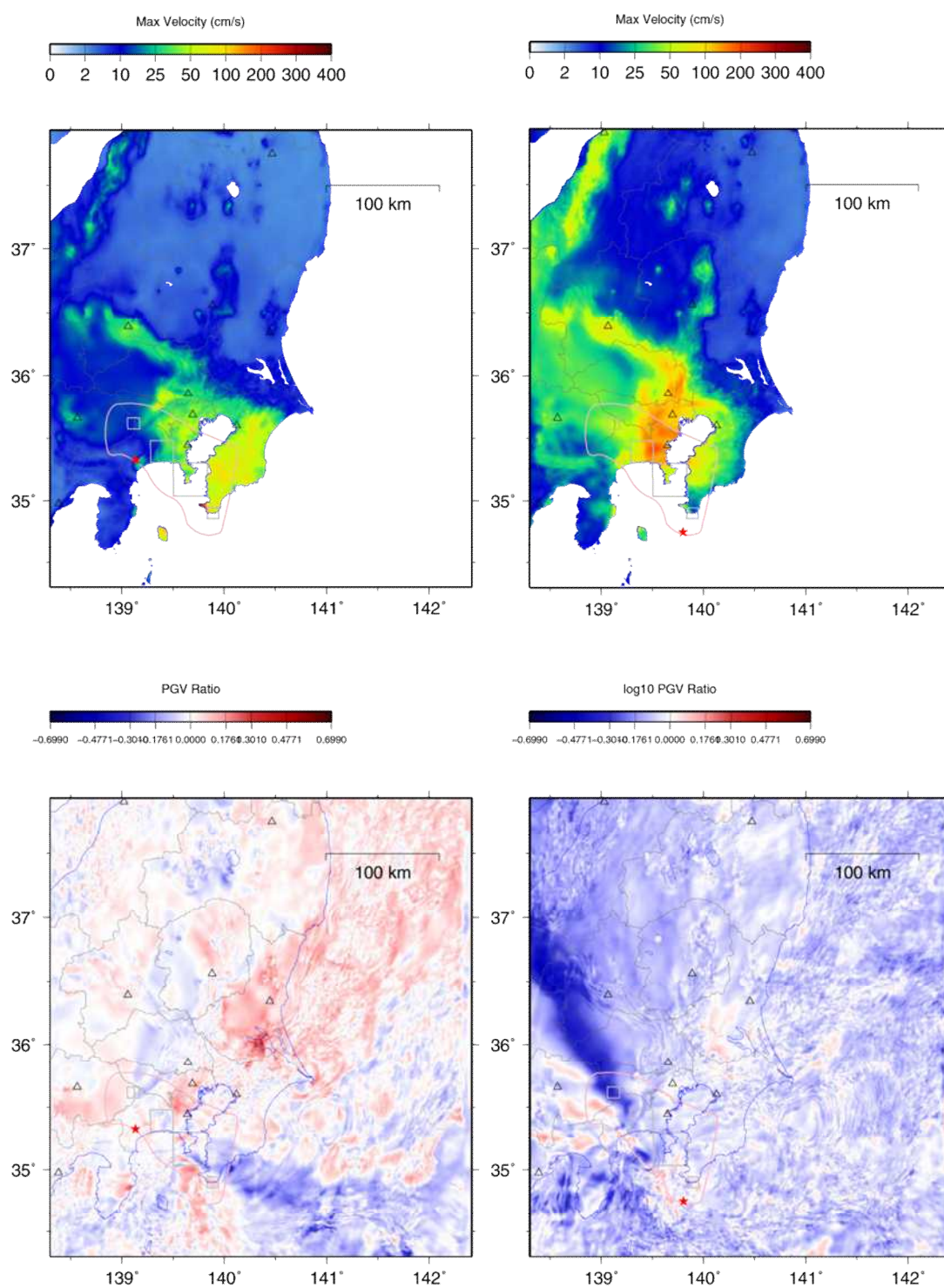
長周期地震動のハザード評価に向けた検討

サブテーマ④ 相模トラフの地震の震源モデル化手法の検討等



震源モデルと地震動シミュレーション結果による最大速度分布の例

サブテーマ④ 相模トラフの地震の震源モデル化手法の検討等

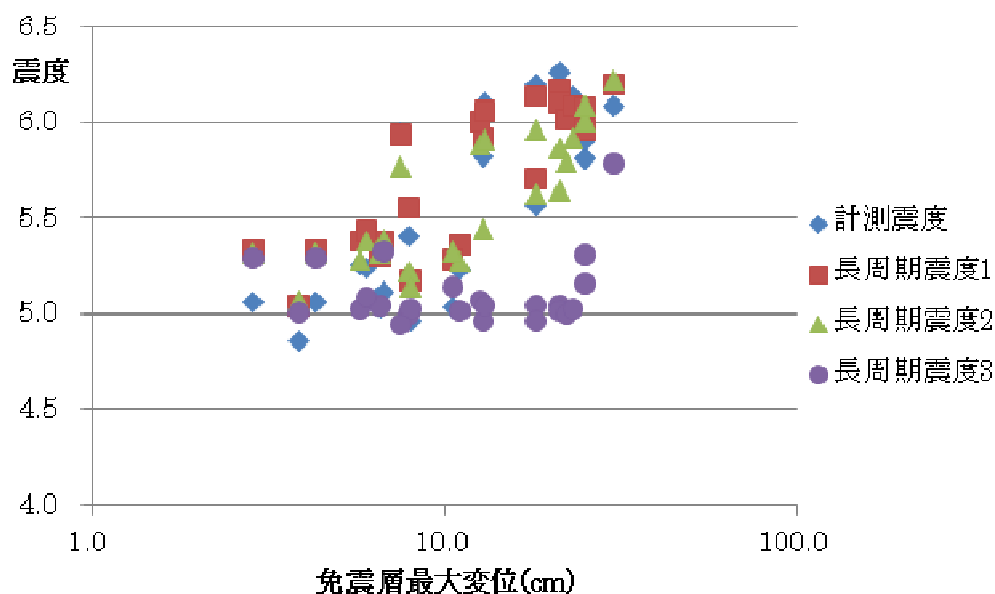


震源パラメータの不均質性に関する影響の検討

サブテーマ⑤ 長周期地震動予測地図やその成果物の効果的な活用に関する検討等

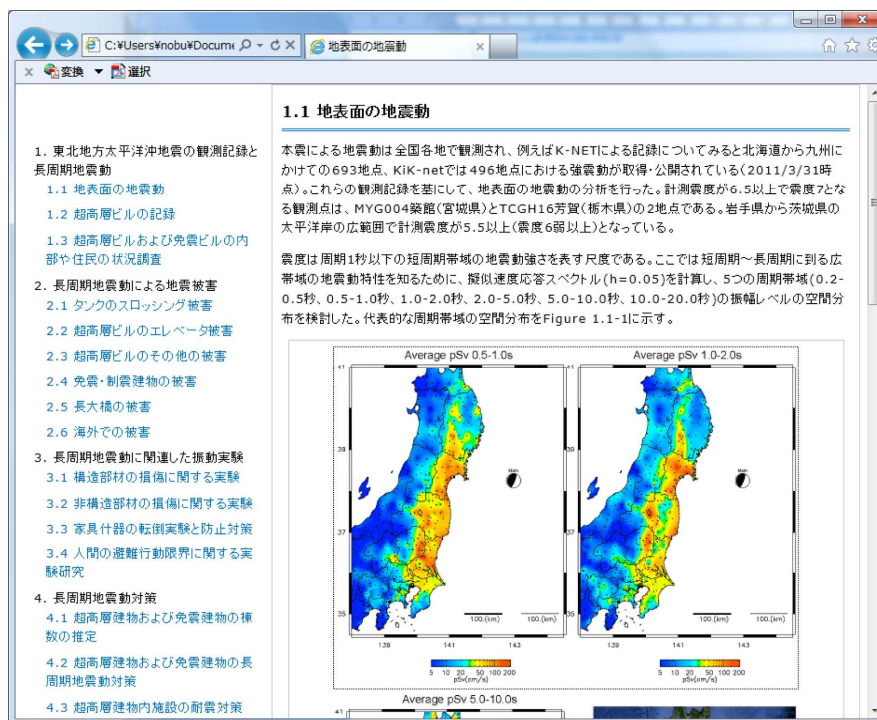
		AIC		OSK		OMS		TKY	
		NS	EW	NS	EW	NS	EW	NS	EW
建物機能	最大層間変形角(rad)	1/242	1/327	1/259	1/298	1/94	1/131	1/82	1/206
	最大加速度(gal)	124	91	121	100	352	222	328	147
	判定値λ	4	4	4	4	1	2	1	4
	機能確保	機能維持	機能維持	機能維持	機能維持	限定機能確保	指定機能確保	限定機能確保	機能維持
構造部材	部材塑性率	0.56	0.43	0.52	0.47	1.92	1.04	2.48	0.65
	部材累積塑性変形倍率	0	0	0	0	2	0	6	0
	判定値λ	4	4	4	4	3	3	2~3	4
	構造部材損傷度	無損傷	無損傷	無損傷	無損傷	軽微	軽微	小損	無損傷

応答計算による高層ビルの被害に関する検討例



長周期地震動の指標と被害との関係の検討例

サブテーマ⑤ 長周期地震動予測地図やその成果物の効果的な活用に関する検討等



長周期地震動に関する被害事例および解説のウェブページの試作例



携帯端末のアプリケーションの追加機能の例（地図上に配置した建物の揺れやすさ可視化）